

บทที่ 4 ผลการวิจัย

4.1 องค์ประกอบของเถ้าลอย

การวิเคราะห์องค์ประกอบทางเคมีของเถ้าลอยจากกระบวนการเผาถ่านหินแบบฟลูอิดไดซ์เบด (Fluidized bed combustion, FBC) โดยเทคนิค X-ray fluorescence และค่า Loss on ignition ของเถ้าลอยได้แสดงในตารางที่ 4.1

ตารางที่ 4.1 องค์ประกอบทางเคมีและขนาดอนุภาคเฉลี่ยของเถ้าถ่านหิน

องค์ประกอบทางเคมี (%)	เถ้าลอย FBC
SiO ₂	21.0
Al ₂ O ₃	8.0
Fe ₂ O ₃	6.9
CaO	42.2
Na ₂ O	2.9
TiO ₂	2.2
MgO	0.8
SO ₃	15.0
LOI	1.0
ขนาดของอนุภาคเฉลี่ย (ไมครอน)	28

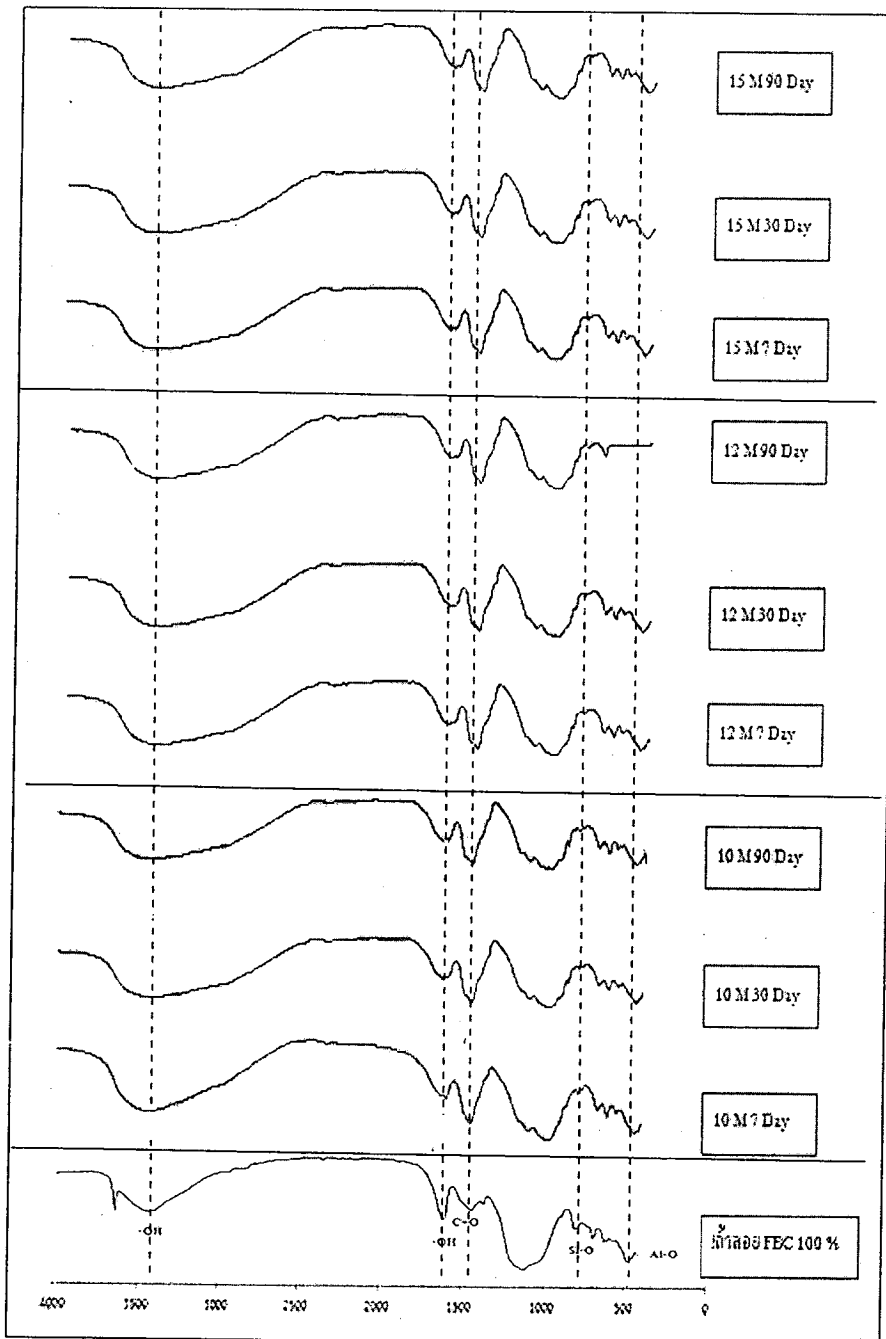
จากตารางที่ 4.1 พบว่าองค์ประกอบทางเคมีของเถ้าลอย FBC ประกอบด้วย SiO₂, Al₂O₃, Fe₂O₃, CaO เป็นองค์ประกอบหลักและ MgO, Na₂O, TiO₂, SO₃ เป็นองค์ประกอบรอง โดยเถ้าลอย FBC นั้นมีปริมาณ CaO สูง เนื่องจากในกระบวนการเผาถ่านหินชนิดนี้เป็นการเผาแบบใช้ความร้อนต่ำ ประมาณ 900 °C จะใช้ปูนขาวในการจับก๊าซซัลเฟอร์ไดออกไซด์เกิดเป็น CaSO₄ จากกระบวนการเผา จึงส่งผลทำให้มีปริมาณ CaSO₄ และ CaO ที่ได้จากปูนขาวเหลืออยู่ในเถ้าปริมาณมาก

จากการวิเคราะห์ขนาดอนุภาคของเถ้าลอย FBC ด้วยเครื่อง Malvern Mastersizer particle size analyzer พบว่าเถ้าลอยมีขนาดอนุภาคเฉลี่ยเท่ากับ 28 ไมครอน

4.2 ผลของความเข้มข้นของสารละลาย NaOH ต่อสมบัติของจีโอโพลิเมอร์จากเถ้าลอย FBC ล้วน

4.2.1 หมู่ฟังก์ชันของจีโอโพลิเมอร์เพสต์ด้วยเทคนิค FT-IR

การทดสอบจีโอโพลิเมอร์เพสต์ด้วยเทคนิค Fourier Infrared Spectrometer (FT-IR) เป็นการวิเคราะห์หมู่ฟังก์ชันของตัวอย่างจีโอโพลิเมอร์เพสต์จากหลายความเข้มข้นของ NaOH คือ 10, 12, และ 15 M ให้ผลต่างๆ ดังรูปที่ 4.1



รูปที่ 4.1 สเปกตรัม FT-IR ของตัวอย่างจีโอโพลิเมอร์เพสต์

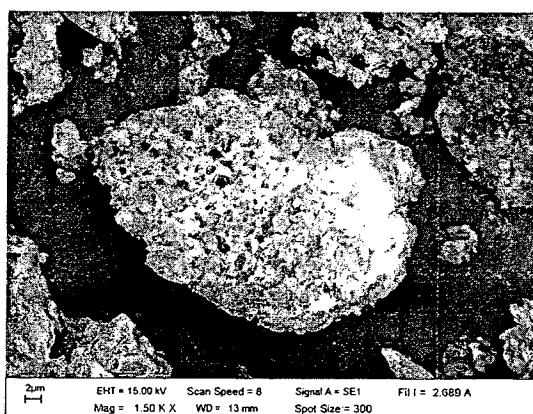
จากรูปที่ 4.1 เมื่อศึกษากราฟ IR เพื่อวิเคราะห์หมู่ฟังก์ชันของตัวอย่างจีโอโพลิเมอร์เพสต์ที่เข้มข้นต่างๆ พบว่าที่ประมาณ 3459 cm^{-1} เป็นพีคของ -OH เมื่อเปรียบเทียบระหว่างถ้ำลอย FBC กับสารจีโอโพลิเมอร์เพสต์ที่เข้มข้นต่างๆ จะเห็นได้ว่าพีคของ -OH ของจีโอโพลิเมอร์นั้นมีความกว้างและชัดเจนมากกว่าพีคของถ้ำลอย FBC เนื่องจากในการเตรียมตัวอย่างจีโอโพลิเมอร์นั้นมีการใช้สารละลาย NaOH ทำให้ปรากฏพีคของ -OH ที่ได้จาก NaOH และ H_2O ซึ่งพีค -OH ยังสามารถพบได้ที่เลขคลื่นประมาณ 1599 cm^{-1} เช่นกัน

ที่เลขคลื่นประมาณ 1414 cm^{-1} เป็นพีคของ -CO_3^{2-} และพบเด่นชัดในจีโอโพลิเมอร์ เนื่องจากเกิดการทำปฏิกิริยาคาร์บอนเนชันขึ้นระหว่างก๊าซ CO_2 กับสารละลาย NaOH ที่มากเกินไปในส่วนผสม และ CaO ที่พบในถ้ำลอยที่ทำปฏิกิริยากับ NaOH และ CO_2 ได้เป็นสารประกอบแคลเซียมคาร์บอเนต (CaCO_3)

ที่เลขคลื่นประมาณ 426 และ 1014 cm^{-1} เป็นพีคของ Al-O และ Si-O ตามลำดับซึ่งเกิดจากถ้ำลอยมีซิลิกาและอะลูมินาเป็นส่วนประกอบ พิกดังกล่าวจะชัดเจนขึ้นและเกิดการเปลี่ยนตำแหน่งพีคเมื่อผสมเป็นจีโอโพลิเมอร์และเกิดการเปลี่ยนแปลงโครงสร้างภายในจีโอโพลิเมอร์หลังจากเกิดปฏิกิริยาจีโอโพลิเมอไรเซชัน

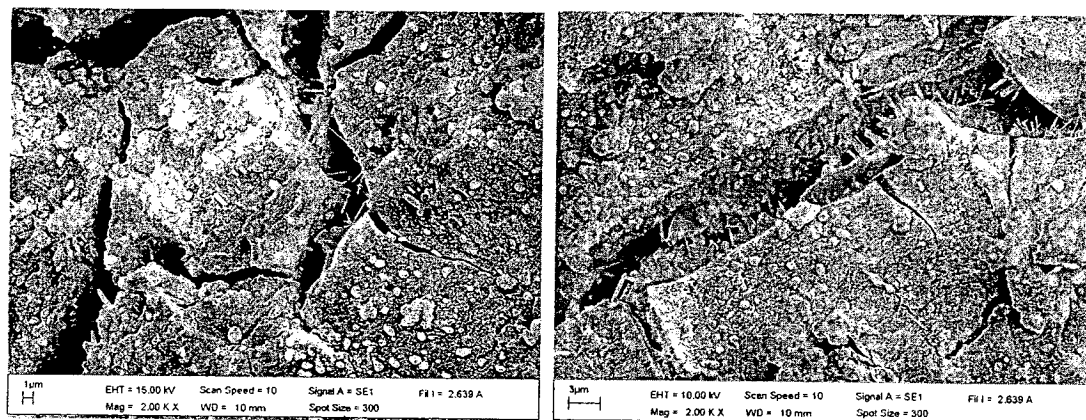
4.2.2 โครงสร้างจุลภาคของจีโอโพลิเมอร์เพสต์โดยเทคนิค Scanning electron microscopy

การทดสอบจีโอโพลิเมอร์เพสต์โดยเทคนิค SEM เป็นการศึกษารูปร่างทางจุลภาคของถ้ำลอย FBC และตัวอย่างจีโอโพลิเมอร์เพสต์ที่จากหลายความเข้มข้นของ NaOH คือ 10, 12 และ 15 M ให้ผล ดังต่อไปนี้



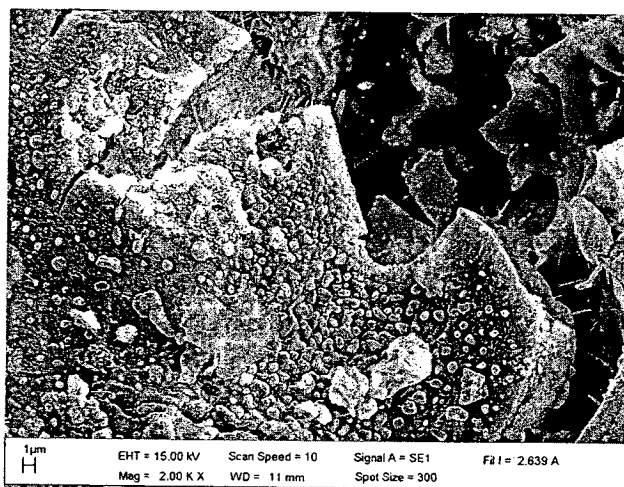
รูปที่ 4.2 โครงสร้างจุลภาคของถ้ำลอย FBC

จากรูปที่ 4.2 พบว่าโครงสร้างแก้วลอย FBC ก่อนทำปฏิกิริยาจีโอโพลิเมอไรเซชันกับเบสมีรูปร่างที่ไม่แน่นอนและมีผิวขรุขระ เนื่องจากการเผาที่อุณหภูมิต่ำเกินไปจะเกิดการหลอมละลายเพียงบางส่วน



(a)

(b)



(c)

รูปที่ 4.3 โครงสร้างทางจุลภาคของจีโอโพลิเมอร์ที่เตรียมจากสารละลาย NaOH ที่ความเข้มข้นต่างๆ

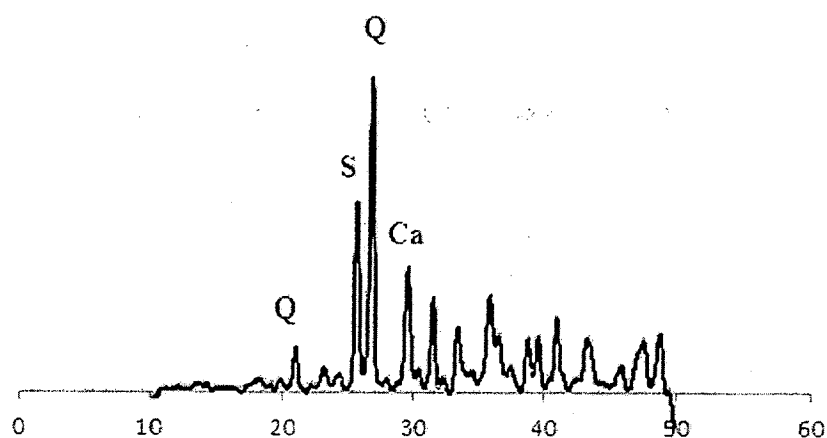
(a) 10 M NaOH, (b) 12 M NaOH, (c) 15 M NaOH

จากรูปที่ 4.3 เป็นโครงสร้างทางจุลภาคของจีโอโพลิเมอร์เพสต์ที่เตรียมจากสารละลาย NaOH ที่ความเข้มข้นต่างๆ คือ 10, 12 และ 15 M พบว่ายังคงเห็นลักษณะส่วนประกอบของแก้วลอย FBC ที่มีรูปร่างที่ไม่แน่นอนและมีผิวขรุขระ ซึ่งเกิดจากการเกิดปฏิกิริยาไม่สมบูรณ์ของแก้วลอย FBC จากรูปยังพบว่าเกิดการแตกร้าวของจีโอโพลิเมอร์ เมื่อสังเกตภายในช่องว่างของรอยแตกร้าวจะพบวัตถุที่มีรูปร่างลักษณะคล้ายเข็มอยู่ระหว่างช่องว่างของการแตกร้าวซึ่งเป็นลักษณะของการเกิดเอททริงไกต์ ส่งผลทำให้จีโอโพลิเมอร์เกิดการขยายตัวและแตกร้าว จากการศึกษาการเกิดปฏิกิริยาของเอททริงไกต์ พบว่าที่

ความเข้มข้นของ NaOH มาก จะมีแนวโน้มในการเกิดเอททริงไคต์ลดลง (Sheet and Kwan, 2003) ซึ่งปฏิกิริยามักเกิดที่ผิวของจีโอโพลิเมอร์ เนื่องจากการสัมผัสกับ NaOH ได้มากกว่าด้านใน

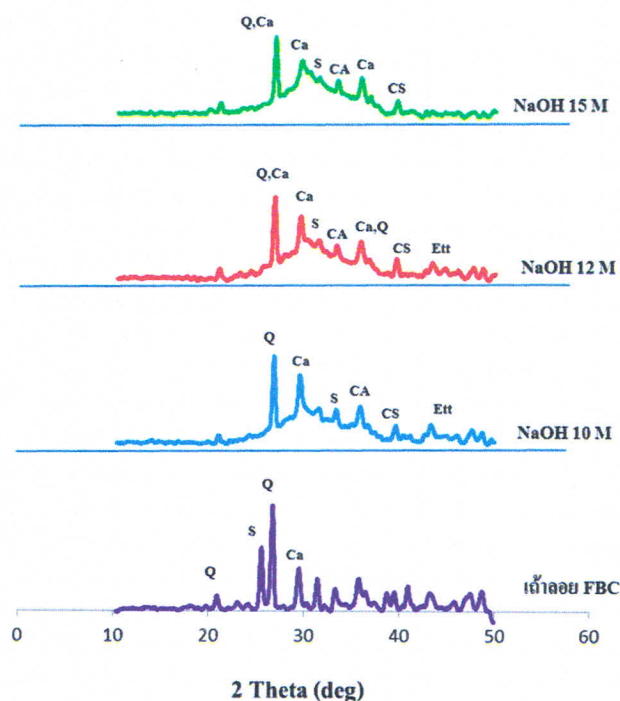
4.2.3 การทดสอบจีโอโพลิเมอร์เพสต์โดยเทคนิค X-ray Diffraction (XRD)

เทคนิค XRD เป็นเทคนิคที่วิเคราะห์สัณฐานวิทยาของแก้วลอย FBC และตัวอย่างจีโอโพลิเมอร์เพสต์จากหลายความเข้มข้นของ NaOH ที่ 10, 12, และ 15 M ให้ผลต่างๆ ดังรูปที่ 4.4 และ 4.5



รูปที่ 4.4 XRD จากการวิเคราะห์แก้วลอย FBC

จากรูปที่ 4.4 Q คือ SiO_2 , Ca คือ CaO และ S คือ CaSO_4 เมื่อทำการวิเคราะห์แก้วลอย FBC ด้วยเทคนิค XRD พบว่ามี CaO, CaSO_4 และ SiO_2 เป็นองค์ประกอบ ซึ่ง CaO มาจากปูนขาวที่นิยมใช้ในการเผาแบบฟลูอิดไดซ์เบดเพื่อลดปริมาณออกไซด์ของซัลเฟอร์ และพบ CaSO_4 ที่เกิดจากการรวมตัวระหว่างปูนขาวกับก๊าซซัลเฟอร์ไดออกไซด์



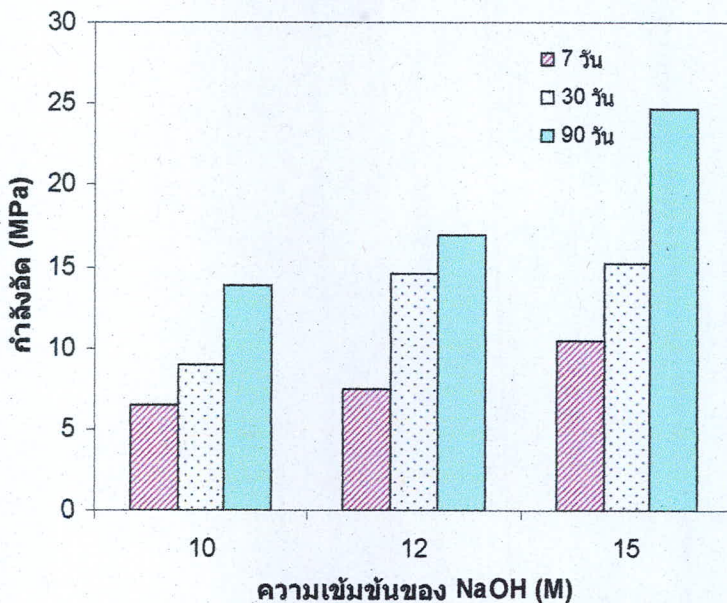
รูปที่ 4.5 XRD จากการวิเคราะห์แก้วลอย FBC และตัวอย่างจีโอโพลิเมอร์ที่ความเข้มข้นสารละลาย NaOH ต่างๆ

จากรูปที่ 4.5 Q คือ SiO_2 , Ca คือ CaO , CS คือ สารประกอบแคลเซียมซิลิเกต, CA คือ สารประกอบแคลเซียมอะลูมิเนต, Ett คือ สารประกอบเอททริงไกต์ และ S คือ CaSO_4 ตัวอย่างจีโอโพลิเมอร์เพสต์ที่เตรียมจากสารละลาย NaOH ความเข้มข้นต่างๆ ด้วยเทคนิค XRD นำมาเปรียบเทียบกับแก้วลอย FBC พบว่าที่บริเวณฐานพีกของจีโอโพลิเมอร์เพสต์ นั้นมีความกว้างมากกว่าฐานพีกของแก้วลอย FBC เนื่องจากจีโอโพลิเมอร์เพสต์มีความเป็นอสัณฐานมากกว่าแก้วลอย FBC แสดงให้เห็นว่าการผลิตสารจีโอโพลิเมอร์โดยใช้เบสทำปฏิกิริยากับแก้วลอย FBC ทำให้เกิดการเปลี่ยนโครงสร้างเป็นสารประกอบใหม่ที่มีสมบัติเปลี่ยนไป และที่บริเวณฐานพีกของจีโอโพลิเมอร์เพสต์ พบว่าจะมีฐานกว้างที่ชัดเจนที่ 27-30 องศา แสดงถึงปฏิกิริยาที่เกิดขึ้นกับจีโอโพลิเมอร์ โดยสารที่พบในจีโอโพลิเมอร์เพสต์ ประกอบด้วยสารประกอบ CaCO_3 (แคลเซียมคาร์บอเนต), แคลเซียมซิลิเกต, แคลเซียมอะลูมิเนต และเอททริงไกต์ พบในส่วนผสมของจีโอโพลิเมอร์เพสต์แต่ไม่พบในแก้วลอย FBC แสดงถึงการเกิดสารใหม่เนื่องจากที่ปฏิกิริยาจีโอโพลิเมอร์ไรเซชัน และยังคงพบพีกของ SiO_2 และ CaO ซึ่งเหลือจากการเกิดปฏิกิริยา (Chindapasirt and Rattanasak, 2010)

จากการทดลองพบว่าจีโอโพลิเมอร์ที่เตรียมจากสารละลาย 10 M NaOH และ 12 M NaOH นั้นพบสารประกอบเอททริงไกต์ (แคลเซียมซัลโฟอะลูมิเนต) ซึ่งเกิดจากการทำปฏิกิริยาไฮเดรชันระหว่างซัลเฟตไอออนทำปฏิกิริยากับไตรแคลเซียมอะลูมิเนตเกิดเป็นสารประกอบที่เรียกว่า เอททริงไกต์ ซึ่งสารดังกล่าวไม่พบในตัวอย่างจีโอโพลิเมอร์เพสต์ที่เตรียมจาก 15 M NaOH

4.2.4 กำลังอัดของจีโอโพลิเมอร์จากเถ้าลอย FBC ที่เตรียมจากสารละลาย NaOH ความเข้มข้นต่างๆ

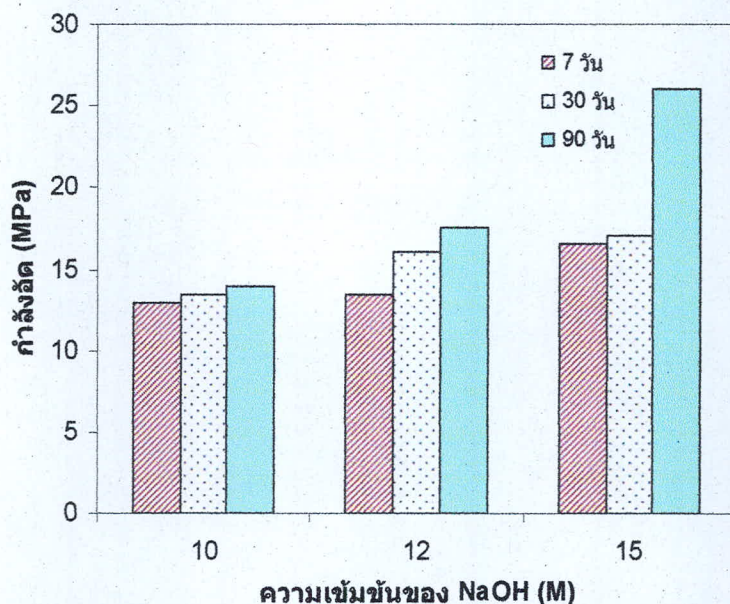
การศึกษาลักษณะของกำลังอัดเป็นการศึกษาค่าแรงอัดที่สูงสุดที่ทำให้ก้อนลูกบาศก์ขนาด $5 \times 5 \times 5$ ซม.³ จำนวน 3 ตัวอย่างเสียรูป กำลังอัดเป็นค่าที่ใช้ในการเปรียบเทียบคุณภาพของวัสดุที่ใช้ในงานก่อสร้าง ซึ่งเป็นวัตถุประสงค์หลักในการทำวิจัยเรื่องจีโอโพลิเมอร์ เพื่อประยุกต์ใช้งานก่อสร้างต่อไป และจากการทำวิจัยนี้เป็นเตรียมตัวอย่างจีโอโพลิเมอร์มอร์ตาร์ที่เตรียมจากสารละลาย 10 M, 12 M, และ 15 M NaOH ทำการทดสอบค่ากำลังอัดที่ระยะเวลาการบ่ม 7, 30 และ 90 วัน ตามวิธีทดสอบมาตรฐาน ASTM C109 มีค่าการทดสอบกำลังอัดได้ผลดังแสดงในรูปที่ 4.6



รูปที่ 4.6 กำลังอัดเฉลี่ยของจีโอโพลิเมอร์มอร์ตาร์ที่ความเข้มข้นต่างๆ

จากรูปที่ 4.6 พบว่ากำลังอัดเฉลี่ยของจีโอโพลิเมอร์มอร์ตาร์ที่ระยะเวลาการบ่ม 90 วัน ที่เตรียมจาก 15 M NaOH นั้นให้ค่ากำลังอัดเฉลี่ยสูงที่สุดที่ 24.7 เมกกะปาสคาล ส่วนจีโอโพลิเมอร์ที่เตรียมจาก 12 และ 10 M NaOH ให้ค่ากำลังอัดเฉลี่ยเท่ากับ 17.0 และ 13.8 เมกกะปาสคาล ตามลำดับ ซึ่งสูงกว่าค่ากำลังอัดที่อายุ 7 และ 30 วัน จากข้อมูลที่ได้จากการทดลองจะพบว่าค่ากำลังอัดของจีโอโพลิเมอร์จะสูงขึ้นแปรผันตามกับความเข้มข้นของ NaOH เนื่องมาจากความเข้มข้นที่เพิ่มขึ้นสามารถทำให้เพิ่มอัตราการเกิดปฏิกิริยาปอซโซลาน และเกิดการชะของไอออน Si^{4+} และ Al^{3+} มากขึ้น เกิดเป็นสารประกอบอะลูมิโนซิลิเกตและแคลเซียมซิลิเกตไฮเดรต (CSH) ซึ่งให้กำลังที่สูง และจากลักษณะการเพิ่มขึ้นของกำลังอัดของจีโอโพลิเมอร์จากเถ้าลอย FBC มักจะเกิดอย่างช้าๆ ในช่วงต้นแต่จะให้กำลังสูงในระยะยาวทั้งนี้เป็นผลมาจากปฏิกิริยาปอซโซลาน (การเกิดสารประกอบแคลเซียมซิลิเกต) ซึ่งเด่นกว่าการเกิดสารประกอบอะลูมิโนซิลิเกต และเนื่องจากเถ้าลอย FBC มีปริมาณแคลเซียมปริมาณมากจึงทำ

ให้เกิดเป็นสารประกอบแคลเซียมซิลิเกตได้ (ปริญญาและชัย, 2552; Chindaprasirt and Rattanasak, 2010) โดยสารนี้จะเกิดมากขึ้นตามระยะเวลาการบ่มทำให้ที่ระยะเวลาการบ่มที่ 90 วัน นั้นให้ค่ากำลังอัดที่สูงที่สุด



รูปที่ 4.7 ค่ากำลังอัดของจีโอโพลิเมอร์ที่ทำจากเถ้าลอยฟลูอิดไดซ์เบดผสมสารประกอบอะลูมิเนียมไฮดรอกไซด์ร้อยละ 5 (5A1) ของเถ้าลอยที่ 7 วัน, 30 วัน และ 90 วัน

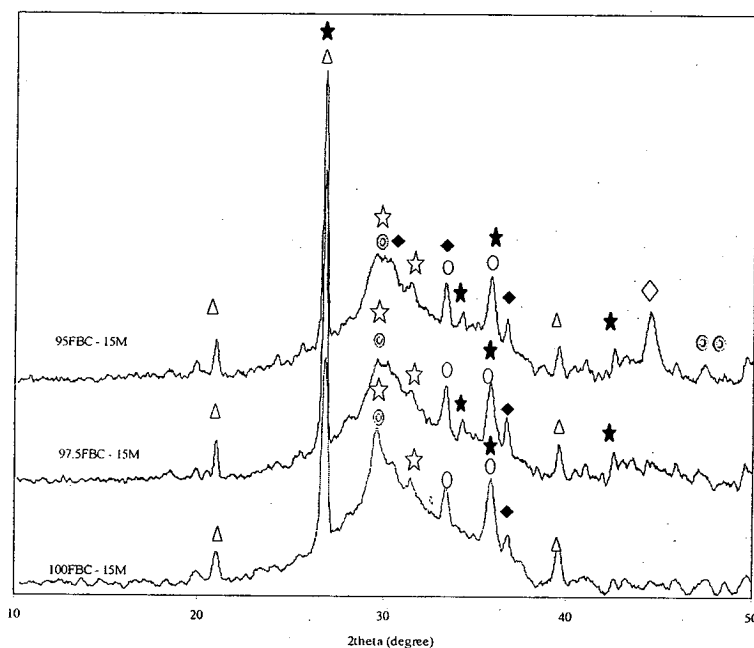
เมื่อทำการผสมจีโอโพลิเมอร์มอร์ตาร์จากเถ้าลอย FBC ที่ผสม สารประกอบอะลูมิเนียมไฮดรอกไซด์ร้อยละ 5 ของปริมาณเถ้าลอย โดยใช้สารละลายโซเดียมไฮดรอกไซด์ความเข้มข้น 10, 12 และ 15 M บ่มจีโอโพลิเมอร์ที่อุณหภูมิ 65°C เป็นเวลา 24 ชั่วโมง จากนั้นบ่มจีโอโพลิเมอร์ที่ 25°C จนครบอายุ 7 วัน, 30 วัน และ 90 วัน จีโอโพลิเมอร์ที่ทำจากเถ้าลอย FBC ที่ผสม 15 M NaOH เมื่อบ่มเป็นเวลา 90 วันจะให้ค่ากำลังอัดที่สูงที่สุด ดังแสดงในรูปที่ 4.7 เนื่องจากความสามารถในการชะซิลิกอนและอะลูมิเนียมไอออนที่มาก (Rattanasak and Chindaprasirt, 2009) นอกจากนี้กำลังอัดจะเพิ่มสูงขึ้นตามอายุการบ่ม เนื่องมาจากจีโอโพลิเมอร์ต้องการระยะเวลาในการเกิดปฏิกิริยาให้สมบูรณ์ เมื่อบ่มจีโอโพลิเมอร์ให้นานขึ้นทำให้จีโอโพลิเมอร์มีค่ากำลังอัดที่สูงขึ้น และสารประกอบอะลูมิเนียมไฮดรอกไซด์เป็นอีกปัจจัยที่ทำให้ค่ากำลังอัดของจีโอโพลิเมอร์สูงขึ้นด้วยเช่นกัน เนื่องจากสารประกอบอะลูมิเนียมไฮดรอกไซด์จะเข้าไปทำปฏิกิริยากับแคลเซียมและซิลิเกตได้สารประกอบแคลเซียมอะลูมิเนียมไฮดรอกไซด์ ซึ่งเป็นสารที่ให้กำลังแก่วัสดุจีโอโพลิเมอร์ได้

4.3 สมบัติของจีโอโพลิเมอร์จากเถ้าลอย FBC ที่ผสมอะลูมิเนียมไฮดรอกไซด์

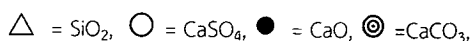
จากผล XRD และค่ากำลังอัด จึงเลือก 15 M NaOH มาผสมกับอะลูมิเนียมไฮดรอกไซด์ ($\text{Al}(\text{OH})_3$) เพื่อผลิตเป็นจีโอโพลิเมอร์โดยผสมเถ้าลอย FBC กับอะลูมิเนียมไฮดรอกไซด์ที่อัตราส่วนต่างๆ โดยแทนที่เถ้าลอย FBC ด้วย $\text{Al}(\text{OH})_3$ ที่ปริมาณร้อยละ 2.5 และ 5 โดยน้ำหนัก การผสม $\text{Al}(\text{OH})_3$ ในปริมาณมากกว่านี้ จะทำให้จีโอโพลิเมอร์เกิดการบวมตัวระหว่างบ่มร้อน และรับกำลังได้ต่ำ (Rattanasak และคณะ, 2010)

4.3.1 การทดสอบจีโอโพลิเมอร์เพสต์โดยเทคนิค XRD

จากรูปที่ 4.8 แสดงสัณฐานวิทยาของจีโอโพลิเมอร์เพสต์จากเถ้าลอย FBC ผสม $\text{Al}(\text{OH})_3$ ร้อยละ 2.5 (ตัวอย่าง 97.5FBC) และร้อยละ 5 (ตัวอย่าง 9.5FBC) ที่เตรียมด้วยสารละลาย 15 M NaOH ที่อายุตัวอย่าง 28 วัน



รูปที่ 4.8 XRD ของจีโอโพลิเมอร์จากเถ้าลอย FBC ที่ผสม $\text{Al}(\text{OH})_3$ ที่เตรียมจาก 15M NaOH



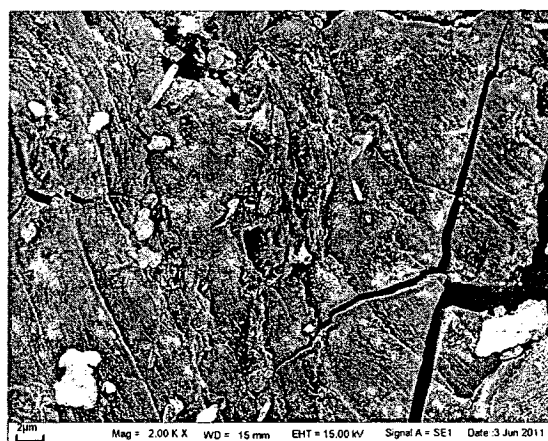
■ = Ettringite, ☆ = Calcium silicate, ★ = Alumino silicate, ◆ = Calcium aluminate, ◇ = Sodium aluminate

จากพิกในรูปที่ 4.8 ไม่พบการเกิดเอพทริงไทด์ในจีโอโพลิเมอร์ที่ผสม $\text{Al}(\text{OH})_3$ แต่พบสารประกอบอะลูมิโนซิลิเกตมากขึ้น นอกจากนี้ยังพบสารประกอบแคลเซียมซิลิเกตและแคลเซียมอะลูมิเนต ซึ่งเป็นสารที่ให้อำนาจแก่จีโอโพลิเมอร์ตามอายุการบ่ม อย่างไรก็ตาม การผสม $\text{Al}(\text{OH})_3$ ร้อยละ 5 ทำให้เกิดสารประกอบไฮเดรตอะลูมิเนต ซึ่งเกิดจากการทำปฏิกิริยาระหว่าง 15 M NaOH และ $\text{Al}(\text{OH})_3$ ที่มากเกินไป ซึ่งสารประกอบดังกล่าวเป็นสารซีโอไลต์ (Inada และคณะ, 2005) ทำให้จีโอโพลิเมอร์รับแรงได้น้อยลงได้

4.3.2 โครงสร้างจุลภาคของจีโอโพลิเมอร์เฟส

รูปที่ 4.9 แสดงโครงสร้างทางจุลภาคของจีโอโพลิเมอร์เฟสและพบอนุภาคของแก้วลอย FBC ที่ไม่เกิดปฏิกิริยา เนื้อจีโอโพลิเมอร์ (Geopolymer matrix) และรอยแตก โดยพบเอทริงไคต์รูปเข็มตามรอยแตกหรือช่องว่างของพื้นผิวของจีโอโพลิเมอร์ที่เตรียมจาก 10M และ 12M NaOH ดังแสดงก่อนหน้าในรูปที่ 4.3 a และ b ซึ่งสอดคล้องกับผลของ XRD ที่พบพีคของเอทริงไคต์

แต่จีโอโพลิเมอร์ที่เตรียมจาก 15 M NaOH (รูปที่ 4.9 a และ b) ไม่พบเอทริงไคต์ตามรอยแตก เนื่องจากสารละลายโซเดียมไฮดรอกไซด์มีความเข้มข้นมากขึ้นจะทำปฏิกิริยากับแคลเซียมซิลเฟตทำให้เกิดแคลเซียมไฮดรอกไซด์ ซึ่งแคลเซียมไฮดรอกไซด์จะทำปฏิกิริยากับซิลิกา และอะลูมินาจากแก้วลอยเกิดเป็นแคลเซียมซิลิเกตไฮเดรต (CSH) และแคลเซียมอะลูมิเนตไฮเดรต (CAH) หรือที่เรียกว่าปฏิกิริยาปอซโซลาน จีโอโพลิเมอร์ที่ผสม $\text{Al}(\text{OH})_3$ ร้อยละ 2.5 และ 5 ที่เตรียมจาก 15 M NaOH ไม่พบเอทริงไคต์ตามรอยแตกหรือช่องว่างของโครงสร้างเช่นกัน



(a)

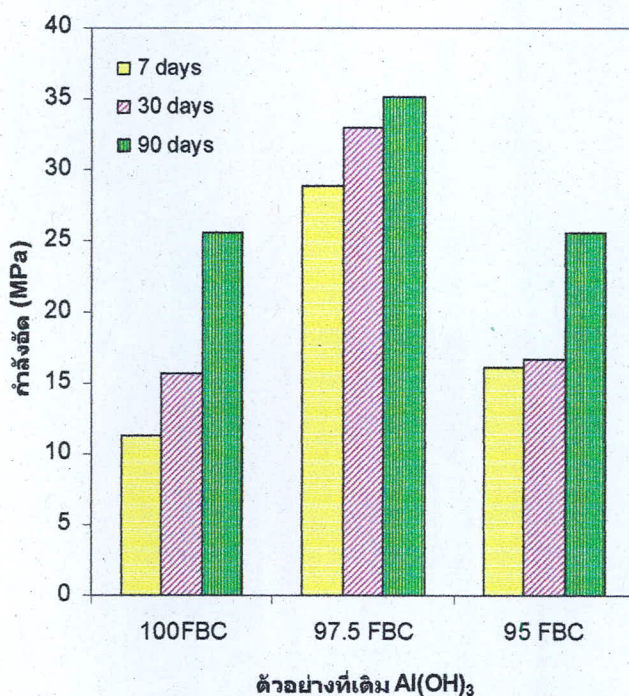


(b)

รูปที่ 4.9 โครงสร้างทางจุลภาคของจีโอโพลิเมอร์เฟสจากแก้วลอย FBC ที่ผสม $\text{Al}(\text{OH})_3$ ร้อยละ 2.5

(a) 100FBC-15 M NaOH, (b) 97.5FBC - 15 M NaOH

4.3.3 กำลังอัดของจีโอโพลิเมอร์มอร์ตาร์



รูปที่ 4.10 ค่ากำลังอัดของจีโอโพลิเมอร์มอร์ตาร์จากเถ้าลอย FBC ที่ผสม $Al(OH)_3$

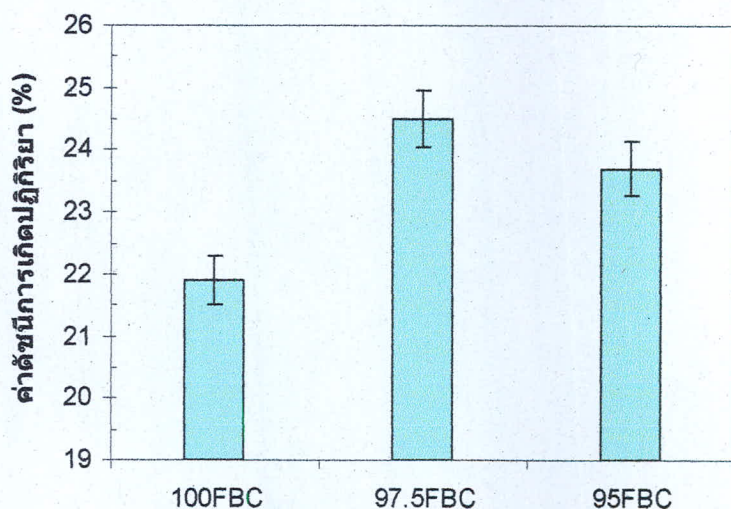
เมื่อผสม $Al(OH)_3$ ในส่วนผสมจีโอโพลิเมอร์จากเถ้าลอย FBC ที่ความเข้มข้น 15 M NaOH ส่งผลด้านกำลังอัด ดังแสดงในรูปที่ 4.10 พบว่า $Al(OH)_3$ ช่วยเพิ่มประสิทธิภาพด้านกำลังแก่จีโอโพลิเมอร์ ทำให้ค่ากำลังอัดของจีโอโพลิเมอร์สูงขึ้นกว่าจีโอโพลิเมอร์ที่ไม่ได้เติม $Al(OH)_3$ โดยค่ากำลังอัดของจีโอโพลิเมอร์เพิ่มขึ้นตามระยะเวลาการบ่ม เนื่องจากเถ้าลอย FBC มีปริมาณแคลเซียมสูง จึงทำให้เกิดสารประกอบแคลเซียมซิลิเกตในส่วนผสมจีโอโพลิเมอร์ ซึ่งสารดังกล่าวช่วยพัฒนาสมบัติด้านกำลังอัดของตัวอย่าง โดยการพัฒนากำลังจะขึ้นกับระยะเวลาการบ่มด้วย (ปริญาและชัย, 2552; Chindaprasirt and Rattanasak, 2010)

จีโอโพลิเมอร์ที่ผสม $Al(OH)_3$ ร้อยละ 2.5 ที่อายุ 90 วัน ให้ค่ากำลังอัดสูงที่สุด 35 เมกะปาสคาล ซึ่งอะลูมิเนียมทำปฏิกิริยากับซิลิกาภายใต้สภาวะเบส ได้เป็นสารประกอบอะลูมิโนซิลิเกต และทำปฏิกิริยากับแคลเซียมได้สารประกอบแคลเซียมอะลูมิเนต ซึ่งสารทั้งสองสามารถเสริมแรงให้แก่จีโอโพลิเมอร์ อย่างไรก็ตาม จีโอโพลิเมอร์ที่ผสม $Al(OH)_3$ ร้อยละ 5 จะได้ค่ากำลังอัดที่ลดลง เนื่องจากเกิดสารประกอบซิโอไลต์ พวกโซเดียมอะลูมิเนต ดังแสดงโดยผล XRD (รูปที่ 4.8)

4.3.4 ดัชนีการเกิดปฏิกิริยาของจีโอโพลิเมอร์เพสต์

หลักการเกิดค่าดัชนีการเกิดปฏิกิริยา คือ 2 M HCl ใช้ในการละลายสารประกอบของแคลเซียมและแคลเซียมไฮดรอกไซด์ จากผลิตภัณฑ์ที่ได้จากปฏิกิริยาจีโอโพลิเมอร์ไร้เซชันเหลือตะกอนที่ประกอบด้วย SiO_2 , Al_2O_3 , Fe_2O_3 และเถ้าที่ไม่เกิดปฏิกิริยา (Unreacted ash) ส่วนสารละลาย 5% w/v Na_2CO_3 เติมลงไปเพื่อละลาย SiO_2 , Al_2O_3 , และ Fe_2O_3 เหลือเป็นตะกอนของเถ้าที่เกิดปฏิกิริยา (Termkhajornkit และคณะ, 2005)

จากการทดลองหาร้อยละดัชนีการเกิดปฏิกิริยาจีโอโพลิเมอร์เพสต์จากเถ้าลอย FBC ผสม $\text{Al}(\text{OH})_3$ ที่ร้อยละ 2.5 และ 5 โดยน้ำหนัก ด้วยสารละลาย 15 M NaOH ที่อายุการบ่ม 90 วัน ดังแสดงในรูปที่ 4.11 ค่าดัชนีการเกิดปฏิกิริยาจีโอโพลิเมอร์เพสต์จากเถ้าลอย FBC ล้วนมีค่าร้อยละ 21.9 เมื่อเติม $\text{Al}(\text{OH})_3$ ลงในส่วนผสมพบว่าค่าดัชนีการเกิดปฏิกิริยามีค่าเพิ่มขึ้นเป็นร้อยละ 24.3 และ 23.7 สำหรับตัวอย่าง 97.5FBC และ 95FBC ตามลำดับ ซึ่งอาจเกิดจากการเกิดปฏิกิริยาระหว่างเถ้าลอย FBC และ $\text{Al}(\text{OH})_3$ ในสารละลายเบสได้เป็นผลิตภัณฑ์ซึ่งได้แก่สารประกอบแคลเซียมซิลิเกต อะลูมิเนียมซิลิเกตและแคลเซียมอะมิเนตมากขึ้น ดังแสดงในผล XRD (รูปที่ 4.8)



ตัวอย่างจีโอโพลิเมอร์เพสต์

รูปที่ 4.11 ค่าดัชนีการเกิดปฏิกิริยาของจีโอโพลิเมอร์มอร์ตาร์จากเถ้าลอย FBC ที่ผสม $\text{Al}(\text{OH})_3$

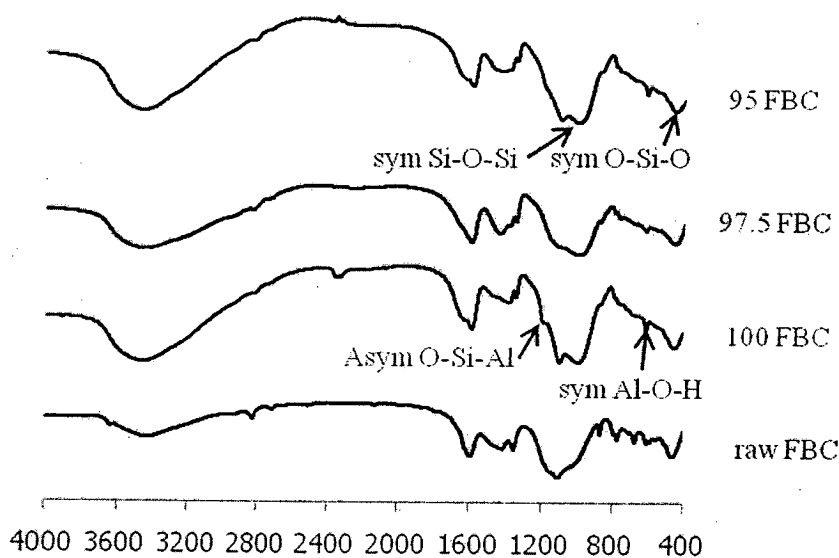
4.3.5 การศึกษาหมู่ฟังก์ชันของจีโอโพลิเมอร์เพสต์ด้วยเทคนิค FT-IR

สเปกตรัม FT-IR ของจีโอโพลิเมอร์จากถ้ำลอย FBC ผสม $\text{Al}(\text{OH})_3$ แสดงในรูปที่ 4.12 โดยทั่วไปสเปกตรัม FT-IR ของตัวอย่างจะสัมพันธ์กับการสั่นของพันธะเคมีที่เป็นค่าจำเพาะของหมู่ฟังก์ชันในสารตัวอย่าง โดยตารางที่ 4.2 แสดงเลขคลื่นของหมู่ฟังก์ชันที่พบในวัสดุจีโอโพลิเมอร์

ตารางที่ 4.2 เลขคลื่นของหมู่ฟังก์ชันที่พบในวัสดุจีโอโพลิเมอร์ (Lee and van Deventer, 2002)

เลขคลื่น (cm^{-1})	การสั่นของหมู่ฟังก์ชัน
3700-3600 (s)	Stretching vibration (-OH)
3600-2200 (s)	Stretching vibration (-OH, H-OH)
1700-1600	Bending vibration (H-O-H)
1200-950 (s)	Asymmetric stretching (Si-O-Si and Al-O-Si)
1100 (sh)	Asymmetric stretching (Si-O-Si)
850 (sh)	Si-O stretching, OH bending (Si-OH)
795 (sh)	Symmetric stretching (Si-O-Si)
688 (sh)	Symmetric stretching (Si-O-Si and Al-O-Si)
424 (s)	Bending (Si-O-Si and O-Si-O)
1340-1300	$-\text{SO}_3$
1426	CO_3^{2-}

m = medium, s = strong, and sh = shoulder



รูปที่ 4.12 สเปกตรัม FT-IR ของตัวอย่างจีโอโพลิเมอร์เพสต์จากถ้ำลอย FBC ผสม $\text{Al}(\text{OH})_3$

พิกที่สนใจในวัสดุจีโอโพลิเมอร์จะเป็นพิกที่เกิดจากการสั่นของสารประกอบออกไซด์ของ Si และ Al ซึ่งเป็นผลิตภัณฑ์หลักที่เกิดขึ้น หมู่ฟังก์ชันของแก้วลอย FBC พบว่าที่เลขคลื่นประมาณ 3446 cm^{-1} ปรากฏพิกของ -OH ที่เลขคลื่นประมาณ 1438 cm^{-1} ปรากฏพิกของ C=O ใน -CO_3^{2-} ที่เกิดจากการทำปฏิกิริยาคาร์บอนเนชัน (Carbonation) (ปริญา, 2548) และที่เลขคลื่นประมาณ 1118 cm^{-1} ปรากฏพิกของ Si-O จากสารประกอบซิลิกาในแก้วลอย (Chindaprasirt and Rattanasak, 2009)

เมื่อเปรียบเทียบสเปกตรัมของจีโอโพลิเมอร์เพสต์ที่ผสม Al(OH)_3 กับแก้วลอย FBC พบว่าพิกของ -OH ของจีโอโพลิเมอร์เพสต์ที่ส่วนผสมต่าง ๆ นั้นจะมีความกว้างและชัดเจนกว่าพิกของแก้วลอย FBC เนื่องจากในการเตรียมตัวอย่างจีโอโพลิเมอร์นั้นมีการใช้สารละลาย NaOH ทำให้ปรากฏพิกของ -OH ที่ได้จาก NaOH และ H_2O และยังพบว่าพิกของ C=O ใน -CO_3^{2-} จะเด่นชัดในจีโอโพลิเมอร์เพสต์ เนื่องจากเกิดการทำให้ปฏิกิริยาคาร์บอนเนชันขึ้นระหว่างก๊าซ CO_2 กับสารละลาย NaOH ที่มากเกินไปในส่วนผสม และ CaO ที่พบในแก้วลอยที่ทำปฏิกิริยากับ NaOH และ CO_2 ได้เป็นสารประกอบแคลเซียมคาร์บอเนต (CaCO_3) (ปริญา, 2548) นอกจากนี้ยังพบการเคลื่อนตำแหน่งของพิก Si-O จาก 1117.21 cm^{-1} ในแก้วลอยไปยังประมาณ 1008 cm^{-1} ซึ่งเป็นการเลื่อนตำแหน่งของพิก Si-O ไปยังตำแหน่งที่ต่ำลง แสดงถึงค่าพลังงานที่ลดลงและเกิดการก่อพันธะ Si-O ใหม่จากเดิมที่พบใน Si-O ของ SiO_2 ในแก้วลอย FBC เกิดเป็น Si-O ในสารประกอบแคลเซียมซิลิเกตและอะลูมิเนียมซิลิเกต (Rattanasak และคณะ, 2011)

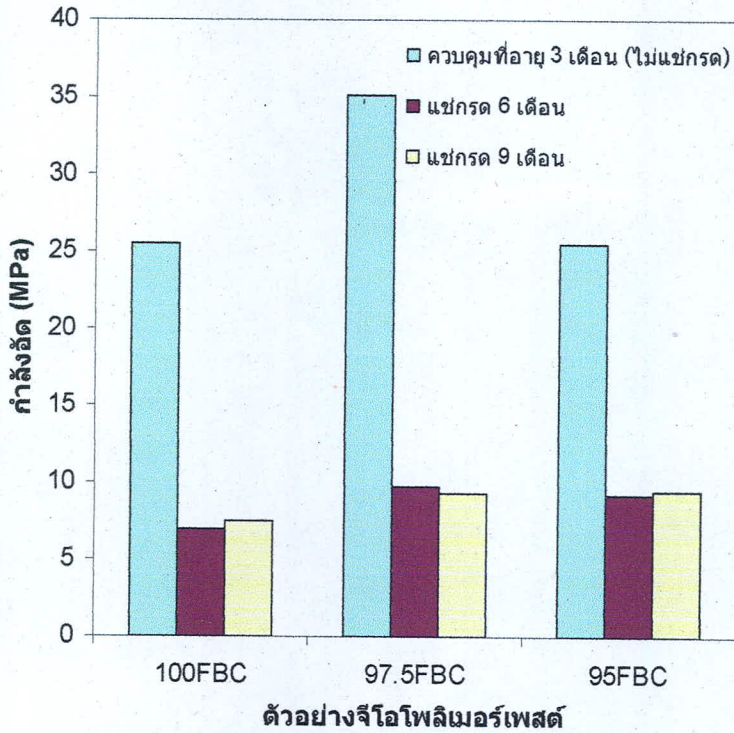
4.3.6 การศึกษาความทนทานของวัสดุจีโอโพลิเมอร์มอร์ตาร์ต่อสารละลายแมกนีเซียมซัลเฟต และสารละลายกรดไฮโดรคลอริก

วัสดุจีโอโพลิเมอร์ได้ถูกทดสอบความคงทนโดยการนำไปแช่ในสารละลายแมกนีเซียมซัลเฟต ร้อยละ 5 โดยน้ำหนักและสารละลายกรดไฮโดรคลอริก ร้อยละ 5 โดยปริมาตร เป็นเวลา 6 และ 9 เดือน แล้วทดสอบสมบัติความคงทนในรูปของค่ากำลังอัด

ความคงทนของจีโอโพลิเมอร์ในสารละลายกรดไฮโดรคลอริก

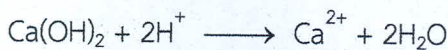
กรดไฮโดรคลอริก (HCl) เป็นกรดแก่ที่สามารถกัดกร่อนหรือชะสารประกอบแคลเซียม และแคลเซียมอิสระออกมาจากคอนกรีตได้ การเติม Al(OH)_3 ลงในส่วนผสมของจีโอโพลิเมอร์ช่วยให้ได้วัสดุที่มีเนื้อแน่น ทำให้กรดชะสารประกอบแคลเซียมออกมาได้ยากขึ้น ทำให้การสูญเสียค่ากำลังอัดของวัสดุจีโอโพลิเมอร์ที่ผสม Al(OH)_3 น้อยลง เมื่อเปรียบเทียบกับจีโอโพลิเมอร์ควบคุม (ตัวอย่าง 100FBC) เนื่องจากจีโอโพลิเมอร์ควบคุมมีปริมาณแคลเซียมอิสระอยู่ปริมาณมาก ดังแสดงในรูปที่ 4.13 อย่างไรก็ตาม จีโอโพลิเมอร์จะมีการกัดกร่อนตามวันเวลาที่เพิ่มขึ้น และลดลงอย่างมากเมื่ออายุการบ่ม 6 เดือน

เนื่องจากเถ้าลอยที่ใช้มีปริมาณแคลเซียมสูง เมื่อแช่ตัวอย่างเป็นเวลานานขึ้นคือ 9 เดือน ค่ากำลังอัดจะคงที่ หรือลดลงไม่มากนัก ซึ่งอาจเกิดเนื่องจากไม่เหลือแคลเซียมอิสระในจีโอโพลิเมอร์แล้ว

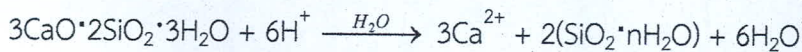


รูปที่ 4.13 ค่ากำลังอัดของจีโอโพลิเมอร์มอร์ตาร์จากเถ้าลอย FBC ที่ผสม $Al(OH)_3$ ในสภาวะกรด

ปฏิกิริยาการชะสารประกอบแคลเซียมในสารละลายกรด สามารถแสดงได้ดังต่อไปนี้ (Mindess และคณะ, 2002)



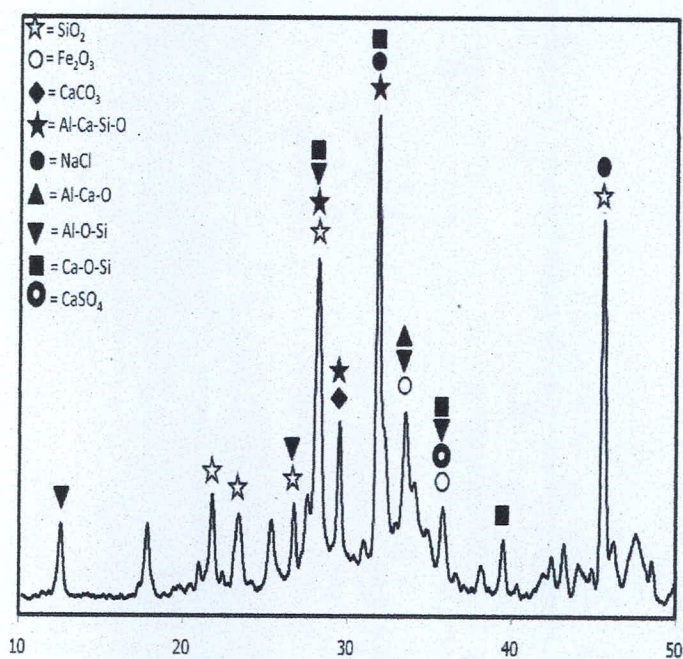
หากกรดมีความเข้มข้นสูง สารประกอบแคลเซียมซิลิเกตไฮเดรตอาจถูกชะออกมาวัสดุจีโอโพลิเมอร์ ได้เป็นซิลิกาเจลได้ ทำให้จีโอโพลิเมอร์มีความพรุนส่งผลต่อค่ากำลังอัดลดลง ดังสมการต่อไปนี้ (Skalny และคณะ, 2002)



รูปที่ 4.14 แสดงผิวของวัสดุจีโอโพลิเมอร์และสารประกอบที่เคลือบผิวที่แช่ในสารละลายกรด และสารประกอบที่เคลือบผิว โดยพบการบวมตัวของวัสดุจีโอโพลิเมอร์ เมื่อนำสารประกอบที่เคลือบผิวจีโอโพลิเมอร์ไปวิเคราะห์ด้วยเทคนิค XRD พบสารประกอบของซิลิกาและสารประกอบแคลเซียมดังแสดงในรูปที่ 4.15



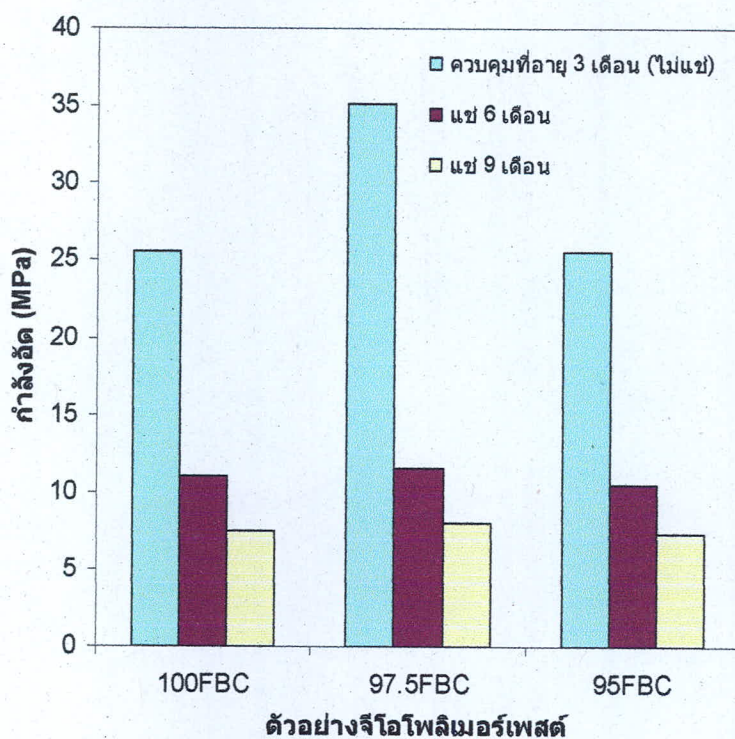
รูปที่ 4.14 ผิวนองวัสดุจีโอโพลิเมอร์เมื่อแช่กรด 5% HCl เป็นเวลา 6 เดือน



รูปที่ 4.15 XRD ของสารประกอบที่เคลือบผิวจีโอโพลิเมอร์ที่แช่กรด 5% HCl เป็นเวลา 6 เดือน

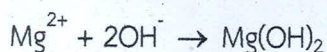
ความคงทนของจีโอโพลิเมอร์ในสารละลายแมกนีเซียมซัลเฟต

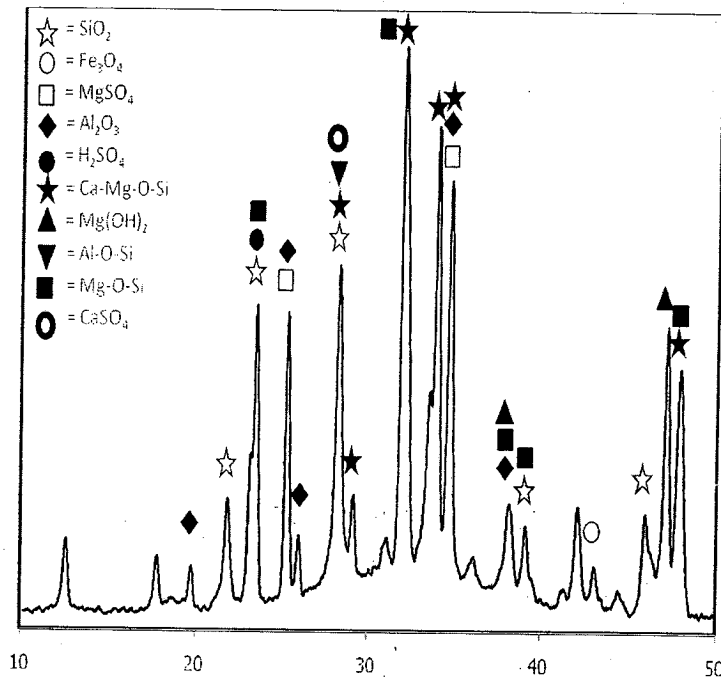
จากค่ากำลังอัดของจีโอโพลิเมอร์มอร์ตาร์ที่แช่สารละลายแมกนีเซียมซัลเฟต พบว่าค่ากำลังอัดของจีโอโพลิเมอร์ทุกตัวอย่างลดลงอย่างมากเมื่อแช่ในสารละลาย $MgSO_4$ ดังแสดงในรูปที่ 4.16 เนื่องจากการใช้สารเคมีกลุ่มซัลเฟต สารละลายแมกนีเซียมซัลเฟตจะแทรกตัวไปยังรูพรุนของจีโอโพลิเมอร์และช่วยเร่งปฏิกิริยาระหว่างอะลูมินากับซิลิกาทำให้เกิดเอทริงไคต์แทรกตามช่องว่างทำให้ขนาดของโพรงและความพรุนลดลงเป็นผลทำให้กำลังอัดของถ้ำลอยผสมเพิ่มขึ้นได้ (ปริญญา, 2548 และ Chindaprasirt และคณะ, 2013) นอกจากนี้ยังพบสารประกอบที่เคลือบผิวจีโอโพลิเมอร์เช่นเดียวกับที่แช่ในกรด



รูปที่ 4.16 ค่ากำลังอัดของจีโอโพลิเมอร์มอร์ตาร์จากถ้ำลอย FBC ที่ผสม $Al(OH)_3$ ในสารละลาย $MgSO_4$

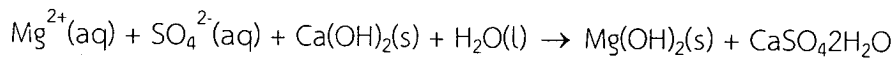
สารประกอบที่ก่อตัวที่ผิวตัวอย่างจีโอโพลิเมอร์เมื่อแช่ ในสารละลาย $MgSO_4$ ได้แก่ สารประกอบ $Mg(OH)_2$ ที่เกิดจากปฏิกิริยาระหว่าง Mg^{2+} (จากสารละลาย $MgSO_4$) กับ OH^- (จาก $NaOH$ ที่ใช้ในการผสม) ดังสมการต่อไปนี้ (ซึ่งสอดคล้องกับผลการทดสอบด้วย XRD ในรูปที่ 4.17)





รูปที่ 4.17 XRD ของสารประกอบที่เคลือบผิวจีโอโพลิเมอร์ที่แช่กรด 5% MgSO_4 เป็นเวลา 6 เดือน

นอกจากนี้ อาจพบปฏิกิริยาที่ผิวระหว่างไอออน Mg^{2+} , SO_4^{2-} และ OH^- ที่ชะออกมาจากก้อนจีโอโพลิเมอร์ เกิดเป็นสารประกอบ $\text{Mg}(\text{OH})_2$ และ CaSO_4 ดังแสดงในสมการต่อไปนี้ (Skalny และคณะ, 2002)



แมกนีเซียมไฮดรอกไซด์มีคุณสมบัติไม่ละลายน้ำ ดังนั้นจึงสังเกตเห็นได้ชัดเจนที่บริเวณผิวของจีโอโพลิเมอร์ นอกจากนั้นอาจเป็นสารประกอบแมกนีเซียมซิลิเกต ($\text{MgO} \cdot \text{SiO}_2 \cdot 8\text{H}_2\text{O}$) ซึ่งเป็นผลจากการทำปฏิกิริยาระหว่างแมกนีเซียมไอออนกับซิลิกา (Skalny และคณะ, 2002) โดยการเกิดสารประกอบทั้งสองทำให้ตัวอย่างเกิดการสูญเสียน้ำหนักซึ่งเกิดเนื่องจากการเพิ่มขึ้นของรูพรุนและช่องว่างในตัวอย่าง (Skalny et al., 2002) เป็นผลให้ค่ากำลังอัดลดลง อีกทั้งการสูญเสียน้ำหนักเกิดจาก SiO_2 ที่ถูกชะออกมาจากมอร์ตาร์ เกิดเป็นสารประกอบแมกนีเซียมซิลิเกตปนออกมากับแมกนีเซียมไฮดรอกไซด์ที่พบที่ส่วนที่ก่อตัวของจีโอโพลิเมอร์